

ผลการวิจัย

๑. การแยกชิ้นส่วนที่มีไซแลนเดอิน

จากการวิจัยของอรินทิพย์ ธรรมรักษ์พิเนต (13) ซึ่งได้สร้างรีคอมบิแนท พลาสมิดที่มีความสามารถถอดรหัสให้ไซแลนเดล โดยการตัดพลาสมิดพาหะ pIJ699 ด้วย เรสตريกชันเอนไซม์ *Bgl*II และ *Bam*H I จากนั้นแยกเฉพาะชิ้นส่วนขนาด 5 กิโลเบล มาเข้ามิกกับโครโนไซมอลดีเอ็นเอของ *Streptomyces* sp. 42-9 ที่ผ่านการตัดกิ่งสมบูรณ์ ด้วยเรสตريกชันเอนไซม์ *Sac*III พบว่าได้ 3 รีคอมบิแนทพลาสมิด ได้แก่ pPT6C pPT6E และ pPT6G ซึ่งเมื่อทราบส์ฟอร์มเข้า *S. lividans* TK64 ทำให้มีความสามารถ ในการผลิตไซแลนเดลได้สูงขึ้นกว่าเดิม 74 69 และ 61 เท่า ตามลำดับ ซึ่งจะเห็นว่า *S. lividans* TK64 ที่มีรีคอมบิแนทพลาสมิด pPT6C ให้ผลตัวต่อของไซแลนเดลสูงสุด เมื่อเทียบกับรีคอมบิแนทพลาสมิดทั้งหมดที่ได้ งานวิจัยนี้จึงนำรีคอมบิแนทพลาสมิดนี้มา โคลน้ำ (*subclone*) โดยใช้พลาสมิดใหม่ที่มีโปรโนเตอร์ซึ่งมีประสิทธิภาพสูงและคาดว่า จะทำให้การถอดรหัสของยีนมีประสิทธิภาพสูงด้วย ซึ่งจะเป็นผลทำให้ผลตัวต่อของไซแลนเดล เพิ่มขึ้น

เมื่อนำรีคอมบิแนทพลาสมิด pPT6C มาตัดด้วยเรสตريกชันเอนไซม์ *Hind*III เพื่อยกชิ้นส่วนดีเอ็นเอที่ໄล์เข้าไป (inserted DNA) ออกจากชิ้นส่วนพลาสมิดพาหะ pIJ699 ได้ดีเอ็นเอในรูปเส้น (Linear form) 2 ชิ้นส่วนคือ ชิ้นส่วนของพลาสมิดพาหะ pIJ699 ขนาด 5 กิโลเบล และ ชิ้นส่วนดีเอ็นเอที่มีไซแลนเดลยืน ขนาดประมาณ 5.4 กิโลเบล ตั้งรูปที่ 7 ซึ่งเมื่อนำสารละลายดีเอ็นเอ pPT6C ที่ตัดด้วยเรสตريกชันเอนไซม์ *Hind*III ไปทำอย่างไวรัสเจลอะล็อกโตรฟิชิล เปรียบเทียบกับพลาสมิดพาหะ pIJ699 ที่ตัดด้วยเรสตريกชันเอนไซม์ *Bgl*II และ *Bam*H I พบว่าชิ้นส่วนล่างมีขนาดเท่ากับ ชิ้นส่วนของพลาสมิดพาหะ (ขนาด 5 กิโลเบล) ตั้งนั้นชิ้นส่วนบนจึงเป็นชิ้นส่วนดีเอ็นเอที่มี

ไซแลนส์ยีนริช่ำใส่เข้าไป ดังแสดงในรูปที่ 8 ช่องที่ 1 และ 3 จึงทำการแยกชั้นล้วนตีเอ็นเอที่มีไซแลนส์ยีนออกจากเจล โดยใช้ GENECLEAN II kit ตามวิธีในบทที่ 2 ข้อ 12 พบว่าตีเอ็นเอที่ได้มีความบริสุทธิ์สูง ดังรูปที่ 8 ช่องที่ 4

เนื่อยินดีว่า ชั้นล้วนตีเอ็นเอที่เตรียมได้ เป็นชั้นล้วนที่ใส่เข้าไปในพลาสมิดจริงไม่ใช้ชั้นล้วนของพลาสมิดพาหะ pUC699 ดังนั้นจึงได้ทดลองตัดชั้นล้วนตีเอ็นเอที่เตรียมได้ด้วยเรสทริกชันเน昂ไซม์ BcII ซึ่งจากรูปที่ 7 จะเห็นว่าชั้นล้วนของพลาสมิด pUC699 นี้ มีตำแหน่งที่สามารถตัดได้ด้วยเรสทริกชันเน昂ไซม์ BcII ถึงสองตำแหน่ง หากชั้นล้วนตีเอ็นเอที่เตรียมได้เป็นชั้นล้วนของพลาสมิด pUC699 ก็จะต้องถูกตัดแบ่งออกเป็น 3 ส่วน แต่จากการทดลองในรูปที่ 9 จะเห็นว่า ชั้นล้วนตีเอ็นเอที่เตรียมได้ไม่สามารถถูกตัดได้ด้วยเรสทริกชันเน昂ไซม์ BcII แสดงว่า ชั้นล้วนตีเอ็นเอที่เตรียมได้เป็นชั้นล้วนที่มีไซแลนส์ยีน ซึ่งชั้นล้วนตีเอ็นเอที่เตรียมได้นี้จะนำไปใช้ในการสร้างวิคคอมบิแนนท์พลาสมิดโดยเชื่อมกับพลาสมิดพาหะชนิดต่างๆ ต่อไป

2. การสร้างวิคคอมบิแนนท์พลาสมิด

2.1 เมื่อใช้ pUC19 เป็นพลาสมิดพาหะ

pUC19 เป็นพลาสมิดพาหะที่มี E. coli เป็นเซลล์เจ้าบ้าน พลาสมิดนี้สร้างขึ้นให้มียีน lacZ พร้อมโปรโมเตอร์ และ มีตำแหน่งที่ตัดด้วยเรสทริกชันเน昂ไซม์ หลายตำแหน่งบนยีน lacZ โดยมีตำแหน่งของ HindIII ออยู่ใกล้กับตำแหน่งโปรโมเตอร์มากที่สุด (26) การนำยีนอินเข้ามาสอดใส่หลังตำแหน่งโปรโมเตอร์ คาดว่าจะเพิ่มประสิทธิภาพการถ่ายรหัสของยีนนั้นๆ ได้ การทดลองนี้จึงนำพลาสมิด pUC19 มาตัดด้วยเรสทริกชันเน昂ไซม์ HIndIII ซึ่งได้พลาสมิดตีเอ็นเอในรูปเล่น โดยมีโปรโมเตอร์ของยีน lacZ ออยู่ก่อนตำแหน่งที่ตัดด้วย HIndIII ดังแสดงในรูปที่ 10 เมื่อนำชั้นล้วนตีเอ็นเอขนาด 5.4 กิโลเบส จาก pPT6C ที่ตัดด้วย HIndIII มาเชื่อมกับ pUC19 คาดว่า จะทำให้การแสดงออกของยีนโครงสร้างที่นำมาต่อเนื่องอยู่ภายใต้การควบคุมของโปรโมเตอร์ของยีน lacZ โดยตรง หลังจากตัดพลาสมิด pUC19 ด้วยเรสทริกชันเน昂ไซม์ HIndIII ก่อนนำไปเชื่อมกับชั้นล้วนตีเอ็นเอที่เตรียมได้ ต้องนำไปกำจัดหมู่ฟอสเฟตออกด้วย BAP และทดสอบการเชื่อมตัวเอง ตามวิธีที่กล่าวไว้ในบทที่ 2 ข้อ 13 ผลการตัด pUC19 การกำจัดหมู่ฟอสเฟต และการเชื่อมตัวเอง แสดงดังรูปที่ 11 ในช่องที่ 2 3 และ 4

ตามลำดับ จะเห็นว่าหลังจากการจำจัดหมู่ฟอสเฟตออกแล้วน้ำผลิตภัณฑ์ μ BC19 ไม่สามารถเชื่อมตัวเองได้ กล่าวคือยังคงอยู่ในรูปเลี้น จากนั้นจึงนำไปเชื่อมกับชิ้นส่วนเดิมอีกทีมีไซแอลเนล จากข้อ 1 (รูปที่ 11 ช่องที่ 5) ตามวิธีที่กล่าวไว้ในบทที่ 2 ข้อ 14 แล้วตรวจสอบผลการเชื่อมกันของผลิตภัณฑ์ μ BC19 กับ ชิ้นส่วนเดิมอีกทีต้องการ โดยการทำอุ่นโรลเจลอิเลคโทรโฟรีซิส เพื่อชนเกียบกับ λ DNA/HindIII ผลการทดลองพบว่า รีคอมบินันท์ผลิตภัณฑ์ได้มีขนาดใหญ่กว่า μ BC19 และขนาดชิ้นส่วนเดิมอีกทีนำมาสอดไล่ตั้งรูปที่ 11 ช่องที่ 6

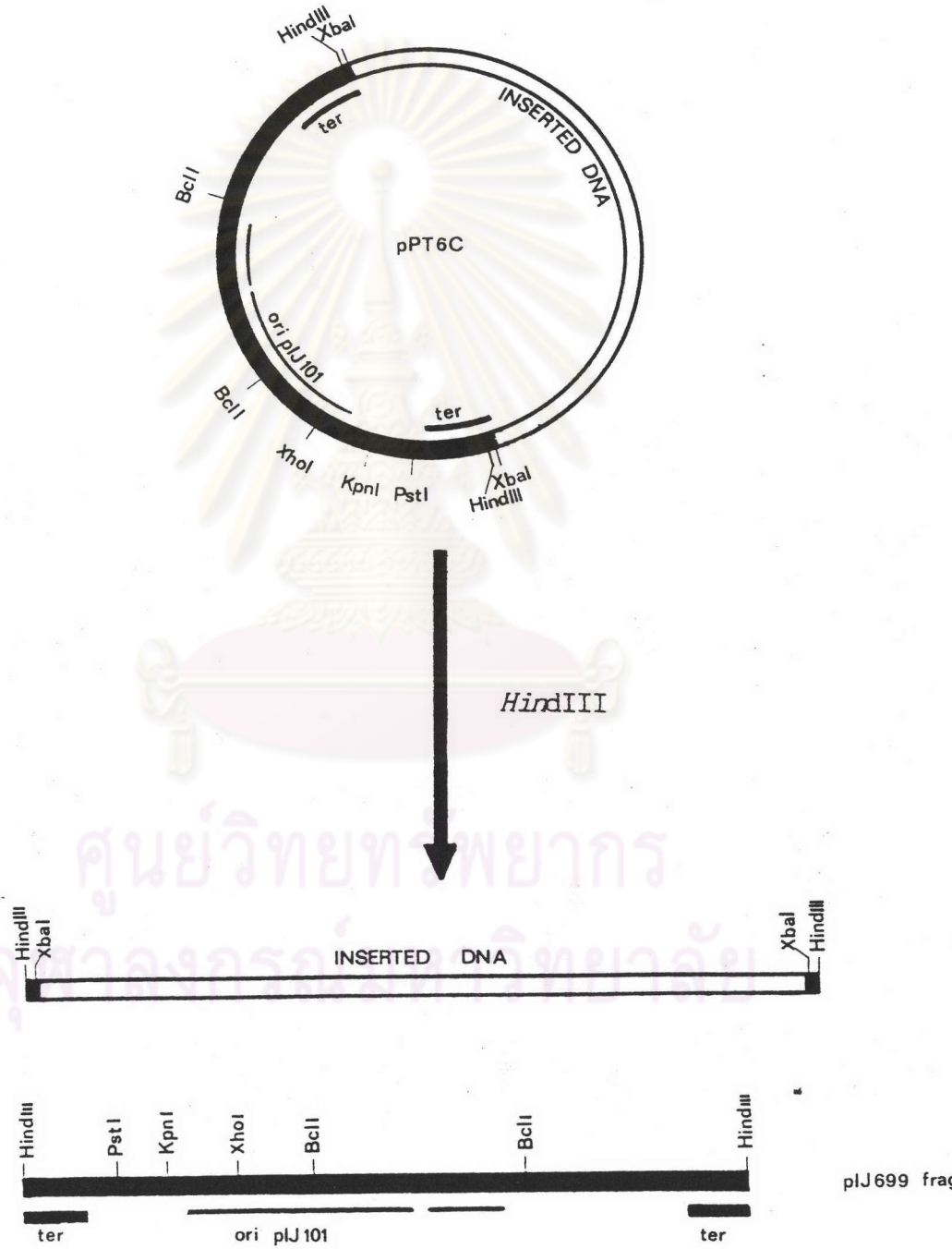
2.2 เมื่อใช้ μ T7-7 เป็นผลิตภัณฑ์

ผลิตภัณฑ์ μ T7-7 เป็นผลิตภัณฑ์ที่มี *E. coli* เป็นเชลล์เจ้าบ้านโดยมีโปรโมเตอร์ ϕ 10 ซึ่งมีรายงานว่าสามารถอ่านและถอดรหัสของ *Streptomyces* ใน *E. coli* ได้ (30) เมื่อตัดด้วยเรสทริกชันเอนไซม์ HindIII จะได้ผลิตภัณฑ์ในรูปเลี้น ตั้งแสดงในรูปที่ 12 จากนั้นจำจัดหมู่ฟอสเฟตออกจากปลายทั้งสองด้านด้วย BAP และทดสอบการเชื่อมตัวเอง ก่อนนำไปเชื่อมกับชิ้นส่วนเดิมอีกทีมีไซแอลเนลยืน ซึ่งเมื่อตรวจสอบผล โดยการทำอุ่นโรลเจลอิเลคโทรโฟรีซิส เพื่อชนเกียบกับ λ DNA/HindIII ได้ผลตั้งรูปที่ 13 จะเห็นว่า μ T7-7 เมื่อตัดด้วย เรสทริกชันเอนไซม์ HindIII (ช่องที่ 2) แล้วนำไปจำจัดหมู่ฟอสเฟตออก (ช่องที่ 3) พบว่าไม่สามารถเชื่อมตัวเองได้ (ช่องที่ 4) และเมื่อนำไปเชื่อมกับชิ้นส่วนเดิมอีกทีมีไซแอลเนลยืน จะเห็นว่าขนาดของรีคอมบินันท์ผลิตภัณฑ์ได้มีขนาดใหญ่ขึ้น (ช่องที่ 6)

2.3 เมื่อใช้ μ IJ4083/3 เป็นผลิตภัณฑ์

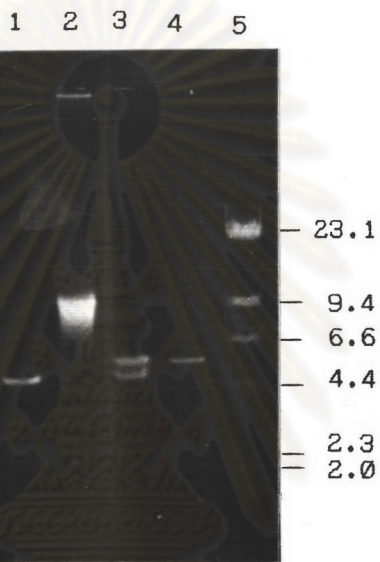
จากการตรวจสอบประสิทธิภาพ ของโปรโมเตอร์ในผลิตภัณฑ์ μ IJ4083/1 μ IJ4083/2 μ IJ4083/3 และ μ IJ4083/4 โดยการฉีดพ่นโคโลนีของ *S. lividans* TK64 ที่มีผลิตภัณฑ์ที่ต้องการ สารละลายน้ำ 0.5 มิลลิลิตรต่อ 0.5 มิลลิลิตร ตามวิธีที่กล่าวไว้ในบทที่ 2 ข้อ 9 พบว่าโคโลนีของ *S. lividans* TK64 ที่มีผลิตภัณฑ์ μ IJ4083/3 ให้โคโลนีที่มีลักษณะเดียวกันกับตัวอื่นๆ ตั้งแต่นี้จึงใช้ผลิตภัณฑ์ μ IJ4083/3 เป็นผลิตภัณฑ์ในระบบเชลล์เจ้าบ้านที่เป็น *Streptomyces*

รูปที่ 7 แผนที่เรสตริกชันบานาลส่วนของ รีคอมบิแนต์พลาสมิด pPT6C เมื่อถูกตัดด้วย เรสตริกชันเอนไซม์ HindIII



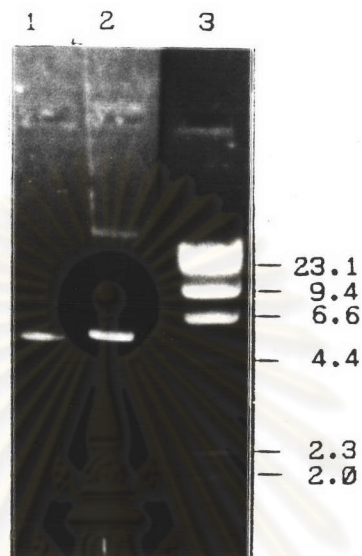
รูปที่ ๘

ผลการทำการโอลิเจลอีเลคโทรฟอร์มาเซียลเพื่อเปรียบเทียบขนาดชิ้นส่วนดีเอ็นเอของรีคอมบินантพลาสมิด pPT6C เมื่อตัดด้วยเรสทริกชันเอนไซม์ HindIII กับพลาสมิดพาหะ pIJ699 เมื่อตัดด้วยเรสทริกชันเอนไซม์ BgIII และ BamHI รวมทั้งผลการแยกชิ้นส่วนดีเอ็นเอที่มีไซแลนส์ยินออกจากเจล โดยใช้ GENECLEAN II kit



- ช่องที่ 1 พลาสมิดพาหะ pIJ699 ที่ตัดด้วย BgIII และ BamHI
 2 รีคอมบินантพลาสมิด pPT6C
 3 รีคอมบินантพลาสมิด pPT6C ที่ตัดด้วย HindIII
 4 ชิ้นส่วนดีเอ็นเอที่มีไซแลนส์ยินออกจากการแยกออกจากเจลโดยใช้ GENECLEAN II kit
 5 λDNA/HindIII (กิโลเบล)

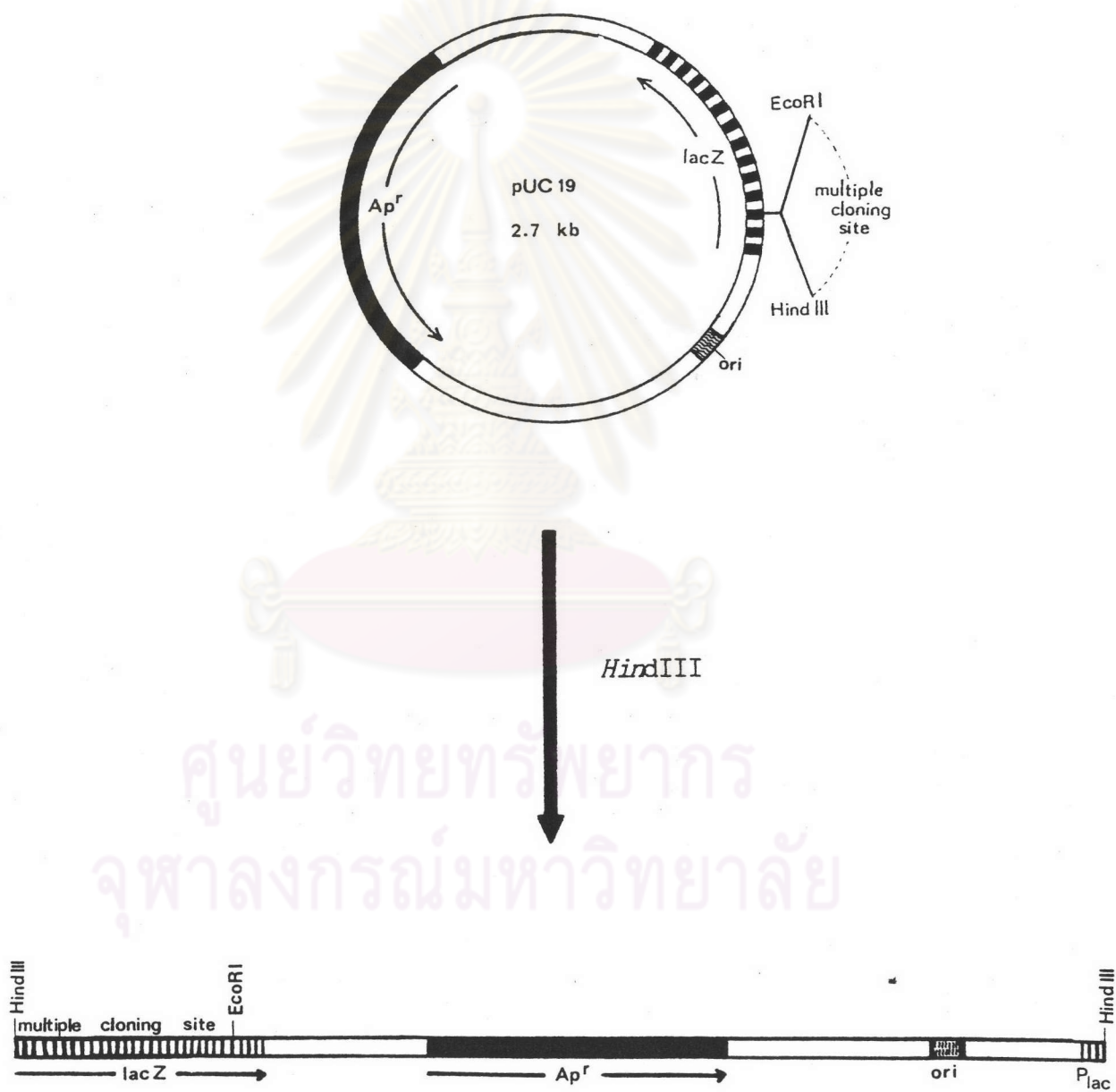
รูปที่ 9 ผลการทำอุก้าวีโรสเจลวิเลคโตร โฟร์ซิลของชิ้นส่วนดีเอ็นเอที่เตรียมได้ เมื่อตัดด้วยเรสตريกชันเอนไซม์ BcI I เปรียบเทียบกับ λ DNA/HindIII



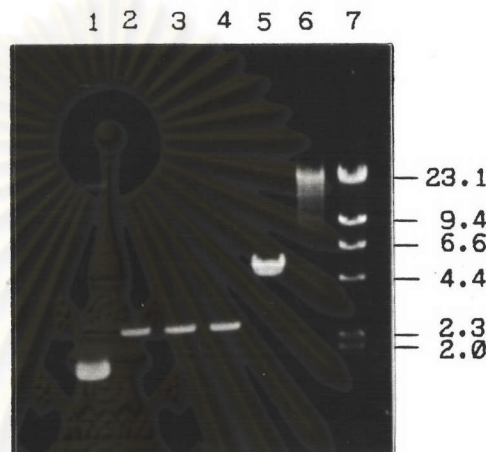
- ช่องที่ 1 ชิ้นส่วนดีเอ็นเอที่มีใช้แลนเซลที่เตรียมได้
 2 ชิ้นส่วนดีเอ็นเอที่เตรียมได้ จากช่องที่ 1 ตัดด้วย BcI I
 3 λ DNA/HindIII

ศูนย์วิทยทรัพยากร
 จุฬาลงกรณ์มหาวิทยาลัย

รูปที่ 10 แผนที่ рестริกชันบานงล้วนของพลาสมิด pUC19 เมื่อถูกตัดด้วยเรสทริกชันเอนไซม์ HindIII



รูปที่ 11 ผลการทำอุกกาโรสเจลอิเลคโโทรฟอเรซิสของพลาสมิคพาหะ pUC19 ที่ถูกตัดด้วยเรสทริกชันเอนไซม์ HindIII แล้วทดสอบการเชื่อมตัวเอง หลังจากกำจัดหมู่ฟอสเฟตออกแล้ว และผลการเชื่อมกับชิ้นส่วนตีເວັ້ນເອົ້າມໃຊແນສອນเปรียบเทียบกับ λDNA/HindIII



ช่องที่ 1 พลาสมิคพาหะ pUC19

2 พลาสมิคพาหะ pUC19 ที่ถูกตัดด้วย HindIII

3 พลาสมิคพาหะ pUC19 จากช่องที่ 2 ที่ถูกกำจัดหมู่ฟอสเฟตด้วย BAP

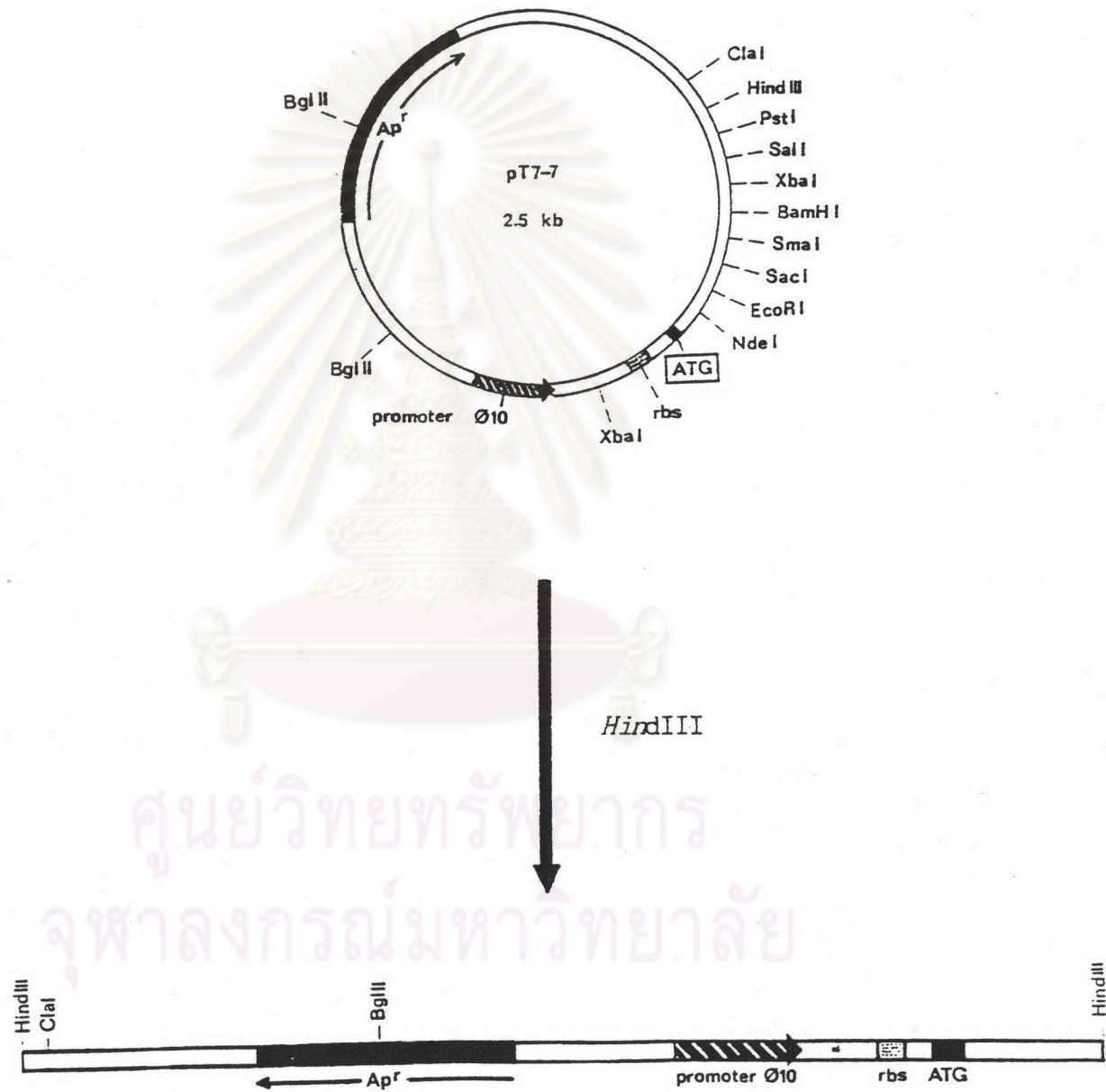
4 ทดสอบการเชื่อมตัวเอง (self ligation) ของพลาสมิคพาหะ pUC19 จากช่องที่ 3 ด้วยเอนไซม์ T₄DNA ligase

5 ชิ้นส่วนตีເວັ້ນເອົ້າມໃຊແນສອນ

6 รีคอมบินันท์พลาสมิด

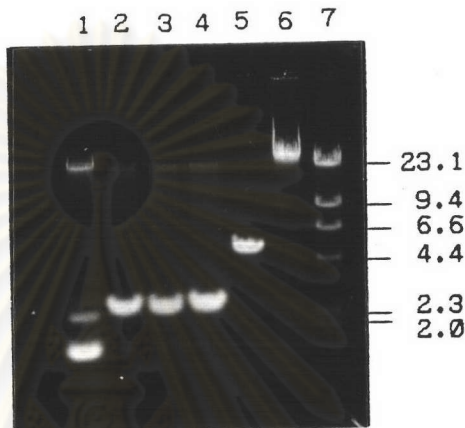
7 λDNA/HindIII (กิโลเบล)

รูปที่ 12 แผนที่เรสทริกชันบานาลส่วนของพลาสมิด pT7-7 เมื่อถูกตัดด้วยเรสทริกชันเอนไซม์ HindIII



รูปที่ 13

ผลการทำการโอลิเจลทริฟิชิลของพลาสมิคพาหะ pT7-7 ที่ถูกตัดด้วยเรสตริกชันเอนไซม์ *Hind*III ผลลัพธ์แสดงการเข้ามตัวเอง ภายหลังกำจัดหมู่ฟอสเฟตออกแล้ว และผลการเข้ามกับชิ้นส่วนดีเอ็นเอที่มีไซแลนส์เปรียบเทียบกับ λ DNA/*Hind*III



ช่องที่ 1 พลาสมิคพาหะ pT7-7

2 พลาสมิคพาหะ pT7-7 ที่ถูกตัดด้วย *Hind*III

3 พลาสมิคพาหะ pT7-7 จากช่องที่ 2 ที่ถูกกำจัดหมู่ฟอสเฟตด้วย BAP

4 ทดสอบการเข้ามตัวเองของพลาสมิคพาหะ pT7-7 จากช่องที่ 3

5 ชิ้นส่วนดีเอ็นเอที่มีไซแลนส์

6 รีคอมบินันท์พลาสมิค

7 λ DNA/*Hind*III (กิโลเบล)

รูปที่ 14 ผลการตรวจลองประสิทธิภาพของป์โรโมเตอร์ โดยการฉีดพ่นโคโลนีของ
S. lividans TK64 ที่มีผลลัพธ์มีดังนี้ pIJ4083/1 pIJ4083/2 pIJ4083/3
 และ pIJ4083/4 ตัวอย่างสารละลายน 0.5 มิลลิร์ แมกทิกอล



ศูนย์วิทยทรัพยากร
 จุฬาลงกรณ์มหาวิทยาลัย



และเนื้องจาก Pinphanichkarn (29) ได้คลอนปีร์โมเตอร์ยืนของ *S. gaucescens* เข้าที่ตำแหน่ง *BamHI* ของ pIJ4083 ตั้งกล่าวไว้ในบทที่ 1 ตามรูปที่ 4 และ 5 ดังนั้นจึงมีตำแหน่งที่จะเชื่อมกับส่วนอื่นล่วง เอ็นเอเข้ากับ pIJ4083/3 ได้เพียงตำแหน่งเดียวคือ ตำแหน่งที่ตัดด้วยเรสทริกชันเอนไซม์ *XbaI* ซึ่งเมื่อตัด pIJ4083/3 ด้วยเรสทริกชันเอนไซม์ *XbaI* จะได้ผลลัพธ์ในรูปเส้นดังแสดงในรูปที่ 15 เมื่อกำจัดหมู่ฟองส์เฟตออกแล้วนำไปเชื่อมกับส่วนดีเอ็นเอที่มีไซแอลเนลยิน ซึ่งผ่านการตัดช้ำด้วยเรสทริกชันเอนไซม์ *XbaI* เพื่อให้ปลายดีเอ็นเอทั้งสองส่วนมีลักษณะเป็นเบสคู่สมกัน ทั้งนี้ จากรูปที่ 7 จะเห็นว่าเมื่อตัด pPT6C ด้วยเรสทริกชันเอนไซม์ *HindIII* แล้ว ปลายทั้งสองด้านถัดจาก *HindIII* เข้ามาจยจะเป็นตำแหน่งที่ตัดได้ด้วยเรสทริกชันเอนไซม์ *XbaI*

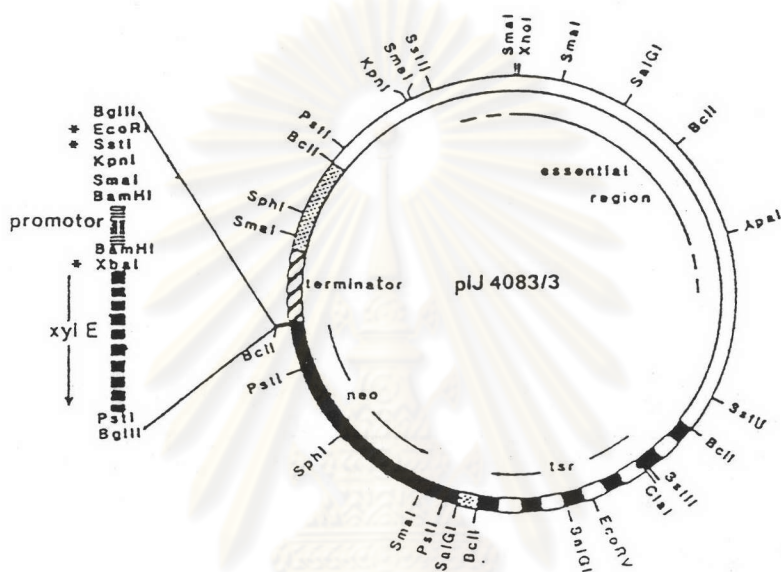
ผลการตรวจสอบการเชื่อมกันของดีเอ็นเอทั้งสองส่วนแสดงดังรูปที่ 16 ซึ่งจะเห็นว่า pIJ4083/3 เมื่อตัดด้วยเรสทริกชันเอนไซม์ *XbaI* (ช่องที่ 2) แล้วผ่านการกำจัดหมู่ฟองส์เฟตออก (ช่องที่ 3) ไม่สามารถเชื่อมตัวเองได้ (ช่องที่ 4) และเมื่อนำไปเชื่อมกับส่วนดีเอ็นเอที่มีไซแอลเนลยิน พบว่ารีคอมบิแนนท์ผลลัพธ์มีขนาดใหญ่ขึ้น และเนื่องจากการคำนวณอัตราล่วงรายระหว่างผลลัพธ์ทั้งสองส่วนต่อส่วนดีเอ็นเอในขั้นตอนการสร้างรีคอมบิแนนท์ผลลัพธ์มีความคลาดเคลื่อน ดังนั้นจากรูปที่ 16 ช่องที่ 6 จะเห็นว่ามีส่วนของผลลัพธ์มีขนาดใหญ่กว่า แต่อย่างไรก็ตามเนื่องจากมีการกำจัดหมู่ฟองส์เฟตออกจากปลายทั้งสองด้านของผลลัพธ์แล้ว ดังนั้นจึงไม่มีผลต่อการคัดเลือกคลอนในภายหลัง

2.4 เมื่อใช้ pIJ4090 เป็นผลลัพธ์มี

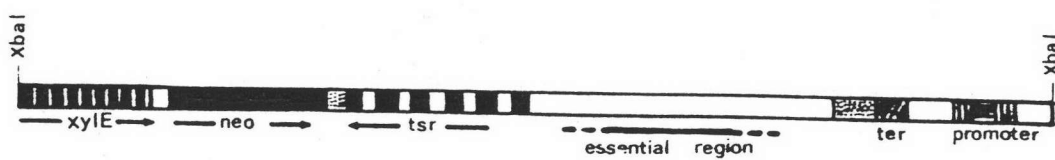
pIJ4090 เป็นผลลัพธ์มี *Streptomyces* เป็นเซลล์เจ้าบ้านและถูกสร้างให้มีปีร์โมเตอร์ของยีนอีริชทอร์มัยซิน (erBE) จึงหมายที่จะนำมาใช้ในการคลอนยืนเพื่อเพิ่มประสิทธิภาพการถอดรหัสยืนของ *Streptomyces* ภายใต้ปีร์โมเตอร์ที่มีประสิทธิภาพของ erBE ดังกล่าว ซึ่งเมื่อตัด pIJ4090 ด้วยเรสทริกชันเอนไซม์ *HindIII* จะได้ลักษณะของดีเอ็นเอดังรูปที่ 17 และเมื่อนำไปกำจัดหมู่ฟองส์เฟตออก แล้ว ก็ทดสอบการเชื่อมตัวเอง จากนั้นนำไปเชื่อมกับส่วนดีเอ็นเอที่มีไซแอลเนลยิน ตรวจสอบผลการเชื่อมกันของดีเอ็นเอทั้งสองส่วน โดยการทำอุ่นไนโตรเจลวิเครชัน ได้ผลดังแสดงในรูปที่ 18 ซึ่งจะเห็นว่า ผลลัพธ์มีลักษณะที่ผ่านการกำจัดหมู่ฟองส์เฟตออกแล้ว ไม่สามารถเชื่อมตัวเองได้ และ เมื่อเชื่อมกับส่วนดีเอ็นเอที่มีไซแอลเนลยิน ก็มีขนาดของรีคอมบิแนนท์ผลลัพธ์มีขนาดใหญ่ขึ้นโดยอย่างมีส่วนของผลลัพธ์มีลักษณะเหลืองเล็กน้อย

รุ่งที่ 15 แผนที่เรสตริกชันของพลาสมิด PIJ4083/3
เอนไซม์ Xba I

เมื่อถูกตัดด้วยเรสทริกชัน

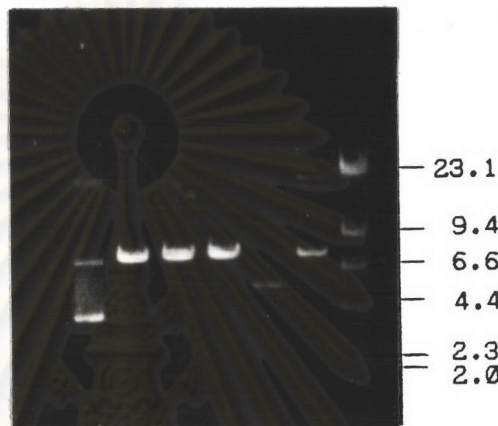


ศูนย์วิทยทรัพยากร จพางรรมมหาวิทยาลัย



รูปที่ 16 ผลการทำการโอลิเจโน่ทริบอฟาร์มิสของพลาสมิคพาหะ บIJ4083/3 ที่ถูกตัดด้วยเรสติกชันเอ็นไซม์ Xba I แล้วทดสอบการเชื่อมตัวเอง หลังจากกำจัดหมู่ฟอลเฟตออกแล้ว และผลการเชื่อมกับชิ้นส่วนดีเอ็นเอที่มีไซแอลเนลยินเปรียบเทียบกับ λ DNA/HindIII

1 2 3 4 5 6 7



ช่องที่ 1 พลาสมิคพาหะ บIJ4083/3

2 พลาสมิคพาหะ บIJ4083/3 ที่ถูกตัดด้วย Xba I

3 พลาสมิคพาหะ บIJ4083/3 จากช่องที่ 2 ที่ถูกกำจัดหมู่ฟอลเฟตด้วย BAP

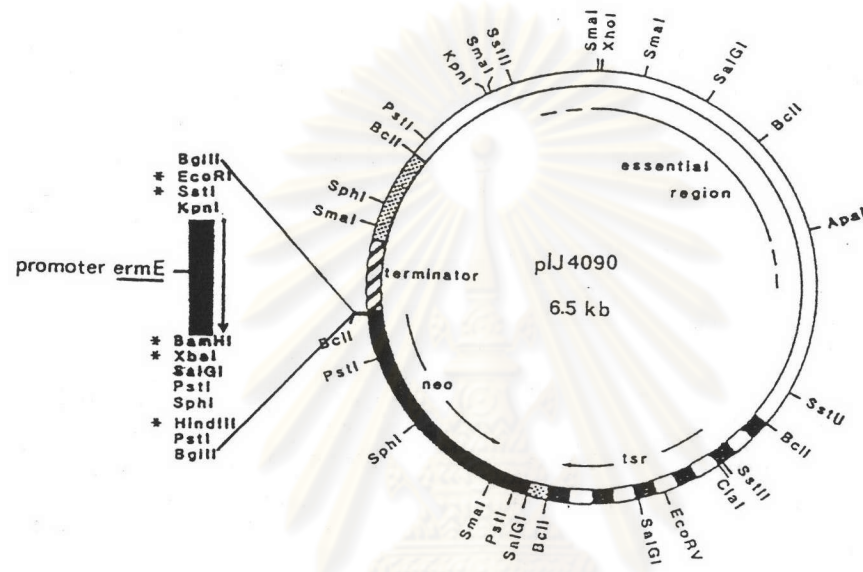
4 ทดลองการเชื่อมตัวเองของพลาสมิคพาหะบIJ4083/3 จากช่องที่ 3

5 ชิ้นส่วนดีเอ็นเอที่มีไซแอลเนลยินจากการตัดด้วย Xba I

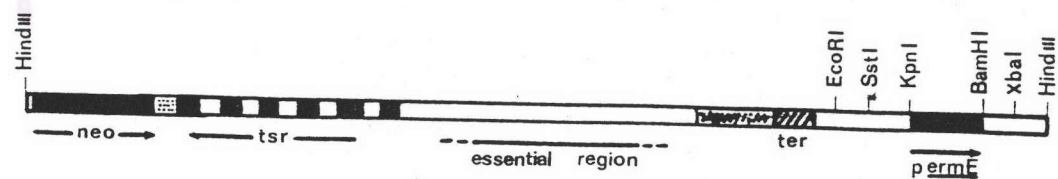
6 รีคอมบินันท์พลาสมิค

7 λ DNA/HindIII (กิโลเบส)

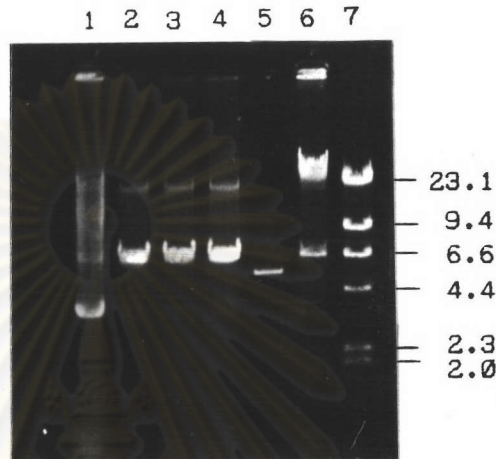
รูปที่ 17 แผนที่เรสทริกชันของพลาสมิค pIJ4090 เมื่อถูกตัดด้วยเรสทริกชันเอนไซม์ HindIII



HindIII



รูปที่ 18 ผลการทำอุกกาโรสเจลอิเลคโโทรฟอเรซิสของพลาสมิคพาหะ pIJ4090 ที่ถูกตัดด้วยเรสทริกเซนไซม์ HindIII แล้วทดสอบการเชื่อมตัวเอง หลังจากกำจัดหมู่ฟอลเฟตออกแล้ว และผลการเชื่อมกับชิ้นส่วนเดิมอีกชิ้น เอทีเมิ่ไซแอลเนลยินเปรียบเทียบกับ λDNA/HindIII



ช่องที่ 1 พลาสมิคพาหะ pIJ4090

2 พลาสมิคพาหะ pIJ4090 ที่ถูกตัดด้วย HindIII

3 พลาสมิคพาหะ pIJ4090 จากช่องที่ 2 ที่ถูกกำจัดหมู่ฟอลเฟตด้วย BAP

4 ทดสอบการเชื่อมตัวเองของพลาสมิคพาหะ pIJ4090 จากช่องที่ 3

5 ชิ้นส่วนเดิมอีกชิ้น เอทีเมิ่ไซแอลเนลยิน

6 รีคอมบินันท์พลาสมิค

7 λDNA/HindIII (กิโลเบล)

3. การกรานสฟอร์เมชัน

จากการกรานสฟอร์มพลาสมิคพาหะต่างๆ ซึ่งได้แก่ pUC19 หรือ pT7-7 ร่วมกับ pGP1-2 เข้าสู่ competent cell ของ *E. coli* และการกรานสฟอร์ม pIJ4083/3 และ pIJ4090 เข้าสู่โปรตอพลาสท์ของ *S. lividans* TK64 พบว่า มีประสิทธิภาพในการกรานสฟอร์มแตกต่างกันไป ดังแสดงในตารางที่ 2 ทั้งนี้สำหรับ *S. lividans* TK64 จะมีเปอร์เซนต์การรีเจนเนอเรท ของโปรตอพลาสท์ในแต่ละครั้ง ไม่คงที่ โดยจะปรับอยู่ในช่วง 7-13% หลังจากเชื่อมชิ้นส่วนดีเอ็นเอที่มีไซแลนส์ในเข้ากับพลาสมิคพาหะชนิดต่างๆ และนำไปกรานสฟอร์มเข้าสู่เซลล์เจ้าบ้าน พบว่ามีประสิทธิภาพในการกรานสฟอร์มที่แสดงได้ดังตารางที่ 3

4. การคัดเลือกกรานสฟอร์มນก

จากการคัดเลือกกรานสฟอร์มที่ของ *E. coli* DS941 ที่ถูกกรานสฟอร์มด้วย รีคอมบินท์พลาสมิคที่มี pUC19 เป็นพลาสมิคพาหะบนอาหารเลี้ยงเชื้อแบคทีเรีย LA ที่มียาปฏิชีวนะแอมพิชิลิน X-galI และ IPTG พบว่าทุกโคลoni มีสีขาวเมื่อนำไปตรวจสอบหาแอกติวิตี้ของไซแลนส์ตามวิธีที่กล่าวไว้ในบทที่ 2 ข้อ 17 และ ไม่พบว่ามีโคลนใดให้แอกติวิตี้ของไซแลนส์ แม้ว่าจะทำการตรวจสอบจากน้ำเสียงเชื้อและสารสกัดแยกจากเซลล์แล้วก็ตาม

นอกจากนี้ยังได้ทดลองเปลี่ยนเซลล์เจ้าบ้านโดยทำการกรานสฟอร์มรีคอมบินท์พลาสมิคที่มี pUC19 เป็นพลาสมิคพาหะเข้าสู่ *E. coli* JM109 แต่ก็พบว่าไม่มีโคลนใดให้แอกติวิตี้ของไซแลนส์ เช่นกัน ผลการทดลองที่ได้นี้อาจเนื่องมาจาก อินของ *Streptomyces* อาจไม่สามารถถอดรหัสได้ในระบบเซลล์เจ้าบ้านที่เป็น *E. coli*

อย่างไรก็ตามได้ทดลองใช้พลาสมิคพาหะ pT7-7 ซึ่งมีรายงานถึงการนำมาใช้ถอดรหัสของ *Streptomyces* ใน *E. coli* (30) ผลการคัดเลือกกรานสฟอร์มที่มีพลาสมิค pT7-7 เป็นพลาสมิคพาหะเมื่อกรานสฟอร์มด้วยรีคอมบินท์พลาสมิคนี้ โดยมีพลาสมิค pGP1-2 ร่วมด้วย พบว่า ได้กรานสฟอร์มที่ของ *E. coli* DS941 เพียง 4 โคลนเท่านั้น แต่เมื่อนำไปตรวจสอบขนาดของรีคอมบินท์พลาสมิคแล้วมีเพียง 1 โคลนเท่านั้นที่มีขนาดของรีคอมบินท์พลาสมิคที่ใหญ่ขึ้น และยังคงตรวจไม่พบแอกติวิตี้ของไซแลนส์ เช่นกัน สำหรับผลการตรวจสอบขนาดของรีคอมบินท์พลาสมิคนี้ได้แสดงไว้ในขั้นตอนต่อไป

ตารางที่ 2 ประสิทธิภาพการกรานสฟอร์เมชันของพลาสมิดนาหะเข้าสู่ *E. coli* และ *S. lividans* TK64

ประสิทธิภาพในการกรานสฟอร์ม		
เชื้อจุลินทรีย์/พลาสมิด	ขนาดของพลาสมิดพาหะ	<u>จำนวนกรานสฟอร์แมนท์</u>
	(กิโลเบล)	ไมโครกรัมตีอีนเอ

E. coli DS941

pUC19	2.7	1.32x10 ⁵
-------	-----	----------------------

E. coli DS941

(pT7-7+pGP1-2)	2.5, 7.2	5.33x10 ³
----------------	----------	----------------------

S. lividans TK64

pIJ4083/3	~7.6	1.27x10 ³
-----------	------	----------------------

S. lividans TK64

pIJ4090	6.5	9.44x10 ⁴
---------	-----	----------------------

ศูนย์วิทยาศาสตร์พยากรณ์
จุฬาลงกรณ์มหาวิทยาลัย

ตารางที่ 3 ผลการกรานสฟอร์มรีคอมบินันท์พลาสมิดที่สร้างได้ เข้าสู่เซลล์ให้อาดีต
ที่เป็น *E. coli* และ *S. lividans* TK64

ประสิทธิภาพในการกรานสฟอร์ม

เชื้อจุลทรรศ์/พลาสมิด

(จำนวนกรานสฟอร์มมก./ไมโครกรัมดีเอ็นเอ)

E. coli DS941

pUC19/inserted DNA

1.36×10^3

E. coli DS941

pT7-7/inserted DNA+pGP1-2

80

S. lividans TK64

pIJ4083/3/ inserted DNA

33

S. lividans TK64

pIJ4090/inserted DNA

1.98×10^3

ศูนย์วิทยาศาสตร์
จุฬาลงกรณ์มหาวิทยาลัย

ส่วนกรานสฟอร์แมนท์ของ *S. lividans* TK64 ที่กรานสฟอร์มด้วยรีคอมบินันท์ พลาสมิคที่มี pIJ4083/3 และ pIJ4090 เป็นพลาสมิคพาหะนั้น เมื่อนำไปทำ replica plating ลงบนอาหารเลี้ยงเชื้อแข็งที่มีไซแพนเป็นองค์ประกอบชิงผลอย่างปฎิชีวนะ ไอโอดีสเตรฟตอน พบว่า โคลนทั้งหมดที่ได้มีโคลนได้ให้ร่องโคลโนมากกว่าหรือเท่ากับ *S. lividans* TK64 ที่มีรีคอมบินันท์พลาสมิค pPT6C จึงได้สุ่มตัวอย่างกรานสฟอร์แมนท์ ออกมากทดสอบแอคติวิตี้ของไซแพนแล แต่ก็ไม่พบว่ามีโคลนได้ให้แอคติวิตี้ติด泊 ซึ่งผลการตรวจสอบแอคติวิตี้ของไซแพนแลแสดงดังตารางที่ 4 เมื่อสักดิรีคอมบินันท์พลาสมิคมาทำ อะกาโรสแลอิเลคโทรโฟรีซิล พบว่ารีคอมบินันท์ที่ได้มีขนาดเท่ากับพลาสมิคพาหะเดิม ไม่มี โคลนได้หรือคอมบินันท์พลาสมิคที่มีขนาดใหญ่ขึ้น

ดังนั้นในการศึกษาขนาดของรีคอมบินันท์พลาสมิค จึงศึกษาจากกรานสฟอร์เม้นท์ จาก *E. coli* เท่านั้น

5. การตรวจสอบขนาดของรีคอมบินันท์พลาสมิคในกรานสฟอร์เม้นท์

เนื่องจากกรานสฟอร์เม้นท์ที่ได้จากการกรานสฟอร์มด้วยรีคอมบินันท์พลาสมิคที่มี pUC19 เป็นพลาสมิคพาหะนั้นมีจำนวนมาก และตามกฎภูมิแล้วชิ้นส่วนดีเอ็นเอที่เริ่มนเข้ากับ พลาสมิคพาหะมีเพียงชิ้นเดียวคือขนาดประมาณ 5.4 กิโลเบล ดังนั้นกรานสฟอร์เม้นท์ที่ได้จึงควรมีรีคอมบินันท์พลาสมิคที่มีขนาดเดียวกันคือประมาณ 8.1 กิโลเบล ด้วยเหตุผลนี้ จึงสุ่มตัวอย่างออกมารากจากกรานสฟอร์เม้นท์ทั้งหมดเพียง 3 โคลนเท่านั้น เพื่อเป็นตัวแทน ของกรานสฟอร์เม้นท์ตัวอื่นๆ โดยได้นำมาทดสอบหาว่าขนาดของรีคอมบินันท์พลาสมิคที่ได้ ใหญ่ขึ้นหรือไม่เพียงใด ทั้งนี้ได้ใช้อกกับรีคอมบินันท์พลาสมิคแต่ละตัวเป็น p19C-1 p19C-2 และ p19C-3 ตามลำดับ เมื่อเลี้ยง *E. coli* DS941 ที่มีรีคอมบินันท์พลาสมิค เหล่านี้แล้วสักดิพลาสมิคออกมากำหนดเวลาของกรานสฟอร์เมล็อกโดยใช้เอลอิเลคโทรโฟรีซิลเทียบกับ λDNA/HindIII พบว่ารีคอมบินันท์พลาสมิคที่สุ่มตัวอย่างมาทั้ง 3 มีขนาดเท่ากัน และ มีขนาดใหญ่กว่า pUC19 ซึ่งเป็นพลาสมิคพาหะเดิม ดังแสดงในรูปที่ 19 ช่องที่ 3, 4 และ 5 ตามลำดับ และโดยวิธีเดียวกัน ได้สุ่มตัวอย่างจากกรานสฟอร์เม้นท์ของ *E. coli* JM109 ที่ กรานสฟอร์มด้วยรีคอมบินันท์พลาสมิคที่มี pUC19 เป็นพลาสมิคพาหะออกมฯ 1 โคลน และ ให้หมายเลขอากับรีคอมบินันท์พลาสมิคในโคลนนี้เป็น p19C-4 จากนั้นสักดิพลาสมิคแล้ว กำหนดเวลาของกรานสฟอร์เมล็อกโดยใช้เอลอิเลคโทรโฟรีซิลเทียบกับ λDNA/HindIII ดังรูปที่ 19 ช่องที่ 6 ซึ่ง จะเห็นว่าขนาดของรีคอมบินันท์พลาสมิคที่ได้มีขนาดใหญ่ขึ้น เช่นกัน และมีขนาดเท่ากับ รีคอมบินันท์พลาสมิค p19C-1 p19C-2 และ p19C-3 ด้วย

ตารางที่ 4 เปรียบเทียบผลตัวสูงสุดของเอนไซม์ไซแลนส์จากโคลนต่างๆ กับ
Streptomyces sp. 42-9 *Streptomyces lividans* TK64
S. lividans TK64/pPT6C *S. lividans* TK64/pIJ4083/3
 และ *S. lividans* TK64/pIJ4090 ในอาหารเลี้ยงเชื้อเหลว
 ที่มีไซแลนเป็นองค์ประกอบ

สายพันธุ์

ผลตัวสูงสุดของไซแลนส์ (หน่วย/มล.)

Streptomyces sp. 42-9 4.44

S. lividans TK64 0.02

S. lividans TK64/pPT6C 4.85

S. lividans TK64/pIJ4083/3 0.07

No. 4/3-1 0.44

No. 4/3-2 0.20

No. 4/3-3 0.12

No. 4/3-4 0.30

No. 4/3-6 0.36

S. lividans TK64/pIJ4090 0.18

No. 4090-2 0.42

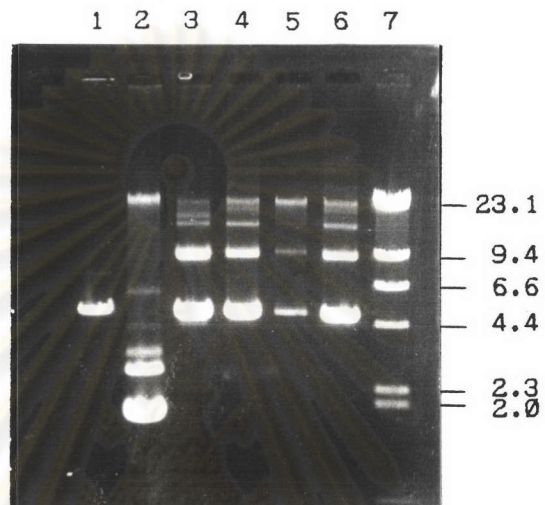
No. 4090-4 0.00

No. 4090-5 0.05

No. 4090-11 0.00

No. 4090-16 0.00

รูปที่ 19 ตำแหน่งของรีคอมบินนท์พลาสมิດ p19C-1 p19C-2 p19C-3 และ p19C-4 ก่อนตัดด้วยเรสตริกชันเอนไซม์ โดยการทำกาโรสเจลอิเลคโทรโโนรีซิล เปรียบเทียบกับชิ้นส่วนดีเอ็นเอที่ใช้แลนเซอิน และพลาสมิດพาหะ pUC19



ช่องที่ 1 ชิ้นส่วนดีเอ็นเอที่ใช้แลนเซอイン

2 พลาสมิດพาหะ pUC19

3 รีคอมบินนท์พลาสมิດ p19C-1

4 รีคอมบินนท์พลาสมิດ p19C-2

5 รีคอมบินนท์พลาสมิດ p19C-3

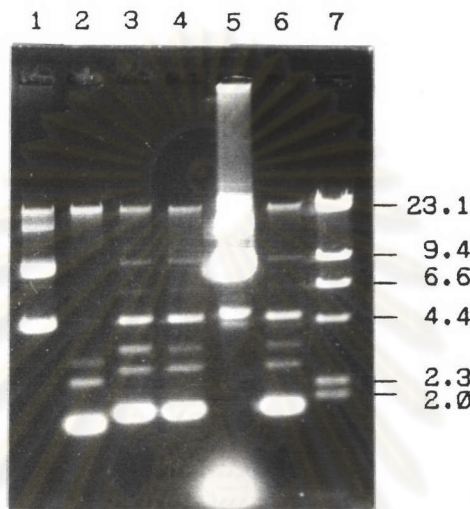
6 รีคอมบินนท์พลาสมิດ p19C-4

7 λDNA/HindIII (กิโลเบล)

จากที่กล่าวไว้ในข้อ 4 ว่า ทราบสฟอร์แมนที่ได้จาก การกรานสฟอร์ม *E. coli* DS941 ด้วยรีคอมบิแนนท์พลาสมิดที่มี pT7-7 เป็นพลาสมิดพาหะนั้น มีเนื้อง 4 โคลนเท่านั้น เมื่อทำการเลี้ยงกรานสฟอร์แมนที่เหล่านี้แล้วสกัดรีคอมบิแนนท์พลาสมิดมา และให้ชื่อกับรีคอมบิแนนท์พลาสมิดเหล่านี้เป็น p7C-1 p7C-2 p7C-3 และ p7C-4 ตามลำดับ จากนั้นทำการโอลเจลオリโคโรฟิวชันกับ *λ*DNA/HindIII ดังรูปที่ 20 พบว่ามีเนื้องรีคอมบิแนนท์พลาสมิด p7C-3 เท่านั้นที่มีขนาดของรีคอมบิแนนท์พลาสมิดใหญ่ขึ้น ส่วนรีคอมบิแนนท์พลาสมิดตัวอื่นๆ มีขนาดเท่ากับพลาสมิดพาหะเดิม คือ pT7-7 นอกจากนี้ ยังพบว่าทุกโคลนที่นำมาตรวจสอยรีคอมบิแนนท์พลาสมิด ยังตรวจพลาสมิด pGP1-2 ซึ่ง ใช้ในการกรานสฟอร์เมชันร่วมกับรีคอมบิแนนท์พลาสมิดด้วย แสดงว่ากรานสฟอร์เมชัน เกิดได้สมบูรณ์ตามที่ต้องการ และยืนยันได้โดยกรานสฟอร์แมนที่เหล่านี้สามารถเจริญได้บน อาหารเลี้ยงเชื้อแข็งสูตร LA ที่มีทิงคากวีชีวนะแอมพิชลินซึ่งเป็น marker ของ pT7-7 และกานามอยซิน ซึ่งเป็น marker ของ pGP1-2

เพื่อยืนยันว่ารีคอมบิแนนท์พลาสมิด p19C-1 p19C-2 p19C-3 p19C-4 และ p7C-3 ได้รับอาชีนส่วนดีเอ็นเอที่มีไซแลนส์ยึดเข้าไป จึงนำรีคอมบิแนนท์พลาสมิด เหล่านี้มาตัดด้วยเรสทริกชันเอนไซม์ HindIII ซึ่งได้ผลดังแสดงรูปที่ 21 22 และ 23 ในรูปที่ 21 จะเห็นว่ารีคอมบิแนนท์พลาสมิด p19C-1 p19C-2 และ p19C-3 หลังจาก ตัดด้วยเรสทริกชันเอนไซม์ HindIII แล้ว ให้ชิ้นส่วนดีเอ็นเอ 2 ส่วนคือ ส่วนล่างมีขนาด 2.7 กิโลเบล ซึ่งเป็นชิ้นส่วนของพลาสมิดพาหะ pUC19 และชิ้นส่วนบนเป็นชิ้นส่วนดีเอ็นเอ ที่ใส่เข้าไป (inserted DNA) ขนาดประมาณ 5.4 กิโลเบล ส่วนในรูปที่ 22 นั้น หลังจากตัดรีคอมบิแนนท์พลาสมิด p19C-4 ด้วยเรสทริกชันเอนไซม์ HindIII พบว่า ได้ชิ้นส่วนดีเอ็นเอ 2 ส่วนคือชิ้นส่วนของ pUC19 ขนาด 2.7 กิโลเบลและชิ้นส่วนดีเอ็นเอ ขนาด 5.2 กิโลเบล ซึ่งมีขนาดเล็กกว่าชิ้นส่วนดีเอ็นเอที่ใส่เข้าไป ส่วนในรูปที่ 23 เมื่อ ตัดรีคอมบิแนนท์พลาสมิด p7C-3 ด้วยเรสทริกชันเอนไซม์ HindIII (ช่องที่ 7) จะได้ ชิ้นส่วนดีเอ็นเอ 3 ชิ้นส่วน คือ ชิ้นส่วนของพลาสมิดพาหะ pT7-7 ขนาด 2.5 กิโลเบล ชิ้นส่วนดีเอ็นเอที่มีไซแลนส์ที่ใส่เข้าไปขนาดประมาณ 5.4 กิโลเบล และชิ้นส่วนของ พลาสมิด pGP1-2 ขนาด 7.2 กิโลเบล ทั้งนี้เนื่องจากบันพลาสมิด pGP1-2 มีตำแหน่ง ที่สามารถตัดได้ด้วยเรสทริกชันเอนไซม์ HindIII เช่นกัน ดังนั้นจึงทำให้พลาสมิดนี้ เปลี่ยนโครงรูปจากการขาดเป็นวง (supercoil form) เป็นอยู่ในรูปเส้น (linear form) ซึ่งมีขนาด 7.2 กิโลเบลสั้นกว่า ทำให้ความสามารถในการเคลื่อนที่ในเจลเปลี่ยนไป

รูปที่ 20 ดำเนินการของรีคอมบิเนนท์พลาสติก p7C-1 p7C-2 p7C-3 และ p7C-4 ก่อนตัดด้วยเรสทริกชันเอนไซม์ โดยการทำกาโรสเจลอิเลคโทรโฟรีซิล เปรียบเทียบกับพลาสติก pGP1-2 และพลาสติกพาหะ pT7-7



ช่องที่ 1 พลาสติก pGP1-2

2 พลาสติกพาหะ pT7-7

3 รีคอมบิเนนท์พลาสติก p7C-1

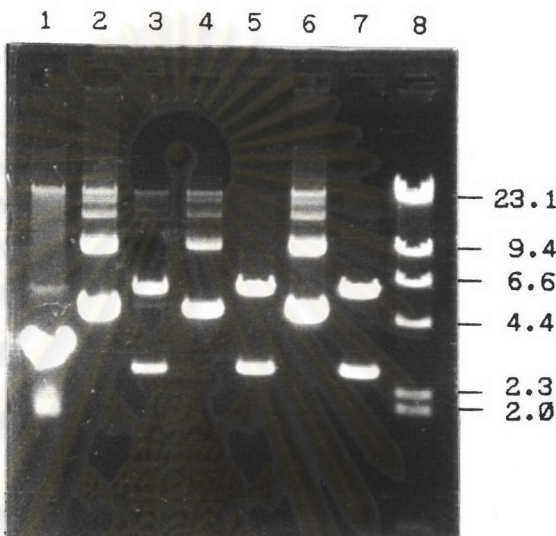
4 รีคอมบิเนนท์พลาสติก p7C-2

5 รีคอมบิเนนท์พลาสติก p7C-3

6 รีคอมบิเนนท์พลาสติก p7C-4

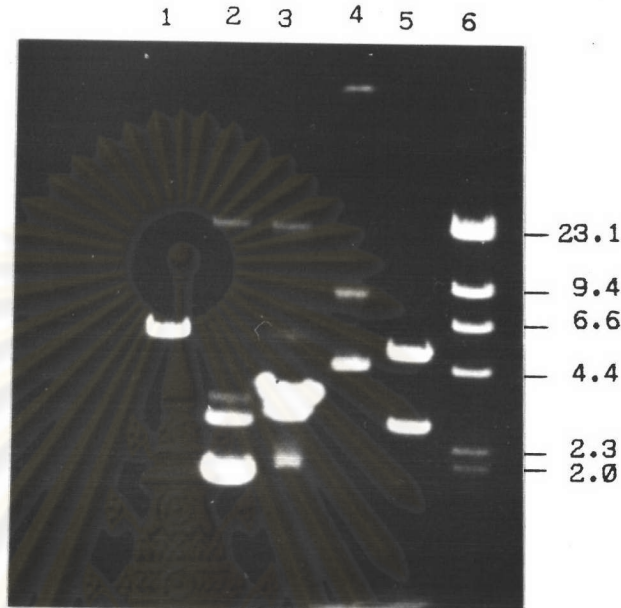
7 λDNA/HindIII (กิโลเบล)

รูปที่ 21 ผลการตัดริคอมบินันท์พลาสมิด p19C-1 p19C-2 และ p19C-3 ด้วย
เรสทริกชันเอนไซม์ HindIII โดยการนำอย่างไวส์เจลวิเลคโทรโฟรีซิส
เปรียบเทียบกับชิ้นส่วนดีเอ็นเอที่มีไซแลนเซิน และ พลาสมิดพาหะ pUC19 ที่
ตัดด้วยเรสทริกชันเอนไซม์ HindIII



- ช่องที่ 1 พลาสมิดพาหะ pUC19 ตัดด้วย HindIII
 2 ริคอมบินันท์พลาสมิด p19C-1
 3 ริคอมบินันท์พลาสมิด p19C-1 ตัดด้วย HindIII
 4 ริคอมบินันท์พลาสมิด p19C-2
 5 ริคอมบินันท์พลาสมิด p19C-2 ตัดด้วย HindIII
 6 ริคอมบินันท์พลาสมิด p19C-3
 7 ริคอมบินันท์พลาสมิด p19C-3 ตัดด้วย HindIII
 8 λDNA/HindIII (กิโลเบส)

รูปที่ 22 ผลการตัดรีคอมบิแนนท์พลาสมิด p19C-4 ด้วยเรสทริกชันเอ็นไซม์ HindIII โดยการทำอย่างไรลเจลอิเลคโโทรฟอร์เซส เปรียบเทียบกับ ชิ้นส่วนที่มีไซแลนเลย์น และ พลาสมิดพาหะ pUC19 ที่ตัดด้วย HindIII



ช่องที่ 1 ชิ้นส่วนดีเอ็นเอที่มีไซแลนเลย์น

2 พลาสมิดพาหะ pUC19

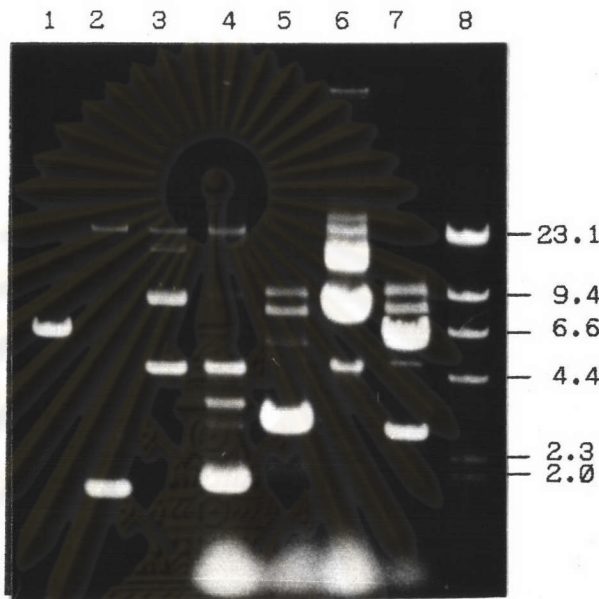
3 พลาสมิดพาหะ pUC19 ตัดด้วยเรสทริกชันเอ็นไซม์ HindIII

4 รีคอมบิแนนท์พลาสมิด p19C-4

5 รีคอมบิแนนท์พลาสมิด p19C-4 ตัดด้วยเรสทริกชันเอ็นไซม์ HindIII

6 λDNA/HindIII (กิโลเบล)

รูปที่ 23 ผลการตัดรีคอมบิเนชันพลาสมิด pTC-3 ด้วยเรสตริกชันเอนไซม์ *Hind* III โดยการนำของกากาโรสเจลอะลูเมโนฟอร์มิล เปรียบเทียบกับ รีนล่าวนทีมิไซแคลเนลยีน พลาสมิดพานาหะ pT7-7 และ พลาสมิด pGP1-2



รีนล่าวนทีเอ็นເດີມໃຊ້ມີໄສແລນເລຍືນ

2 พลาສມິດພາහະ pT7-7

3 พลาສມິດ pGP1-2

4 พลาສມິດ (pT7-7+pGP1-2)

5 พลาສມິດ (pT7-7+pGP1-2) ตัดด้วยเรสตริกชันเอนไซม์ *Hind* III

6 รีคอมบิเนชันพลาสมิด pTC-3

7 รีคอมบิเนชันพลาสมิด pTC-3 ตัดด้วยเรสตริกชันเอนไซม์ *Hind* III

8 λDNA/*Hind* III (กິໂລບັລ)

ตั้งนี้จะเห็นว่าตำแหน่งของพลาสมิด pGP1-2 ในรูปที่ 23 ช่องที่ 5 และ 7 เป็นไปจากโครงรูปเดิมที่อยู่ในช่องที่ 4 และ 6 ตามลำดับ

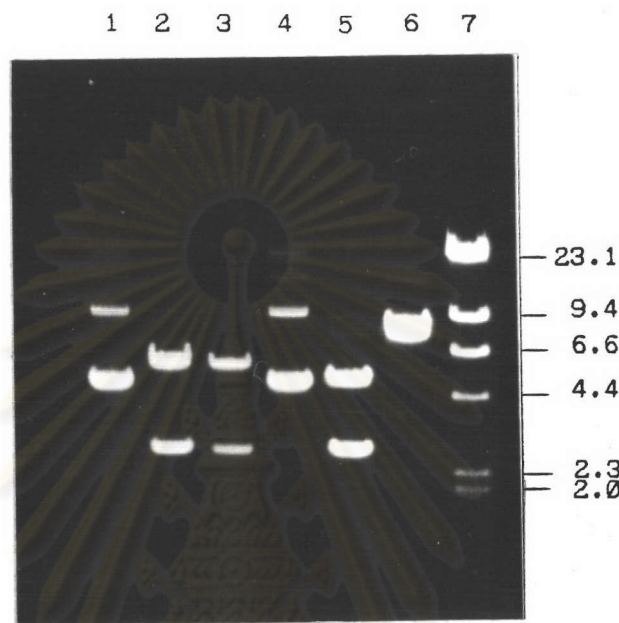
จากรูปที่ 21 และ 23 จึงยืนยันได้ว่าชิ้นส่วนดีเอ็นเอที่ใส่เข้าไปนั้นเป็นชิ้นส่วนดีเอ็นเอที่มีไซแลนส์ที่ได้จากการคุณบิแวนท์พลาสมิด pPT6C ยกเว้นการคุณบิแวนท์พลาสมิด p19C-4 โดยจะเห็นว่าภายในหลังตัดริคุณบิแวนท์พลาสมิด p19C-1 p19C-2 p19C-3 และ p7C-3 ด้วยเรสทริกชันเอนไซม์ XbaI แล้ว ตำแหน่งของชิ้นส่วนดีเอ็นเอที่ใส่เข้าไปมีตำแหน่งตรงกันกับ ตำแหน่งของชิ้นส่วนดีเอ็นเอที่เตรียมได้ ก่อนการสร้างริคุณบิแวนท์พลาสมิดตัวใหม่ ดังรูปที่ 21 ช่องที่ 3 5 และ 7 และ รูปที่ 22 ช่องที่ 5 เปรียบเทียบกับช่องที่ 1 ตามลำดับ

จากรูปที่ 7 จะเห็นว่าที่ปลายทั้งสองด้านของชิ้นส่วนดีเอ็นเอที่มีไซแลนส์นั้นมีตำแหน่งที่สามารถตัดได้ด้วยเรสทริกชันเอนไซม์ XbaI ดังนั้นมีน้ำริคุณบิแวนท์พลาสมิดที่รับเอาชิ้นส่วนดีเอ็นเอนี้เข้าไปมากตัดด้วยเรสทริกชันเอนไซม์ XbaI ควรจะได้ชิ้นส่วนดีเอ็นเอ 2 ส่วน คือส่วนของพลาสมิดพาหะและส่วนของดีเอ็นเอที่ใส่เข้าไป จึงได้น้ำริคุณบิแวนท์พลาสมิด p19C-2 และ p19C-4 ซึ่งเป็นริคุณบิแวนท์พลาสมิดที่ได้จาก E. coli DS941 และ E. coli JM109 ตามลำดับ มาทดสอบโดยตัดด้วยเรสทริกชันเอนไซม์ XbaI ผลที่ได้พบว่าริคุณบิแวนท์พลาสมิด p19C-2 ถูกตัดออกเป็น 2 ส่วน ดังรูปที่ 24 ช่องที่ 3 ขณะที่ริคุณบิแวนท์พลาสมิด p19C-4 เมื่อตัดด้วย XbaI แล้วได้ชิ้นส่วนขนาดใหญ่เพียงชิ้นเดียวโดยมีขนาดประมาณ 8 กิโลเบล ดังแสดงในรูปที่ 24 ช่องที่ 6

6. การตรวจสอบรูปแบบของโปรตีนจากการทำ SDS-PAGE

แม้ว่าไม่สามารถตรวจพบตัวของไซแลนส์ในโคลนต่างๆ ที่รับริคุณบิแวนท์พลาสมิดที่มีชิ้นส่วนดีเอ็นเอขนาด 5.4 กิโลเบลก็ตาม งานวิจัยในขั้นตอนต่อไปจะตรวจสอบรูปแบบของโปรตีนที่เกิดขึ้นโดยเปรียบเทียบรูปแบบของโปรตีนจากเซลล์เจ้าบ้านที่ไม่ได้รับ กับที่ได้รับพลาสมิดพาหะ หรือ ริคุณบิแวนท์พลาสมิด ทั้งนี้เพราจากรายงานการวิจัยของ กมลวรรณ มั่นวักดี (46) ซึ่งศึกษาสมบัติของไซแลนส์จาก *Streptomyces* sp. 42-9 ที่ผ่านการทำให้บริสุทธิ์แล้ว พบว่าเอนไซม์มีขนาดน้ำหนักโมเลกุลประมาณ 28000 ดาลตัน โดยการวิเคราะห์ด้วยวิธี SDS-PAGE ดังนี้จึงคาดว่าถ้าเซลล์เจ้าบ้านรับริคุณบิแวนท์พลาสมิดที่มีไซแลนส์เข้าไปและสามารถถอดรหัสให้ไซแลนส์ได้ ก็ควรจะมีความเข้ม

รูปที่ 24 ผลการตัดรีคอมบิแนนท์พลาสมิด p19C-2 และ รีคอมบิแนนท์พลาสมิด p19C-4 ด้วยเรสตริกชันเอนไซม์ *Hind*III และ *Xba*I โดยการกำจัดการโกรสเจล อิเลคโทรโฟรีซิลเปรียบเทียบกับ λ DNA/*Hind*III



- ช่องที่ 1 รีคอมบิแนนท์พลาสมิด p19C-2
- 2 รีคอมบิแนนท์พลาสมิด p19C-2 ตัดด้วย *Hind*III
- 3 รีคอมบิแนนท์พลาสมิด p19C-2 ตัดด้วย *Xba*I
- 4 รีคอมบิแนนท์พลาสมิด p19C-4
- 5 รีคอมบิแนนท์พลาสมิด p19C-4 ตัดด้วย *Hind*III
- 6 รีคอมบิแนนท์พลาสมิด p19C-4 ตัดด้วย *Xba*I
- 7 λ DNA/*Hind*III (กิโลเบล)

ของโปรตีนที่ประมาณ 28000 ดาลตัน แต่ก็ต่างจากเซลล์เจ้าบ้านที่ไม่ได้รับริคอมบินเนนท์ พลาสมิດ โดยการนำน้ำเลี้ยงเชื้อและสารสกัดแยกจากเซลล์ที่เตรียมได้จากบทที่ 2 ข้อ 17 ไปทำ SDS-PAGE ตามวิธีจากบทที่ 2 ข้อ 18

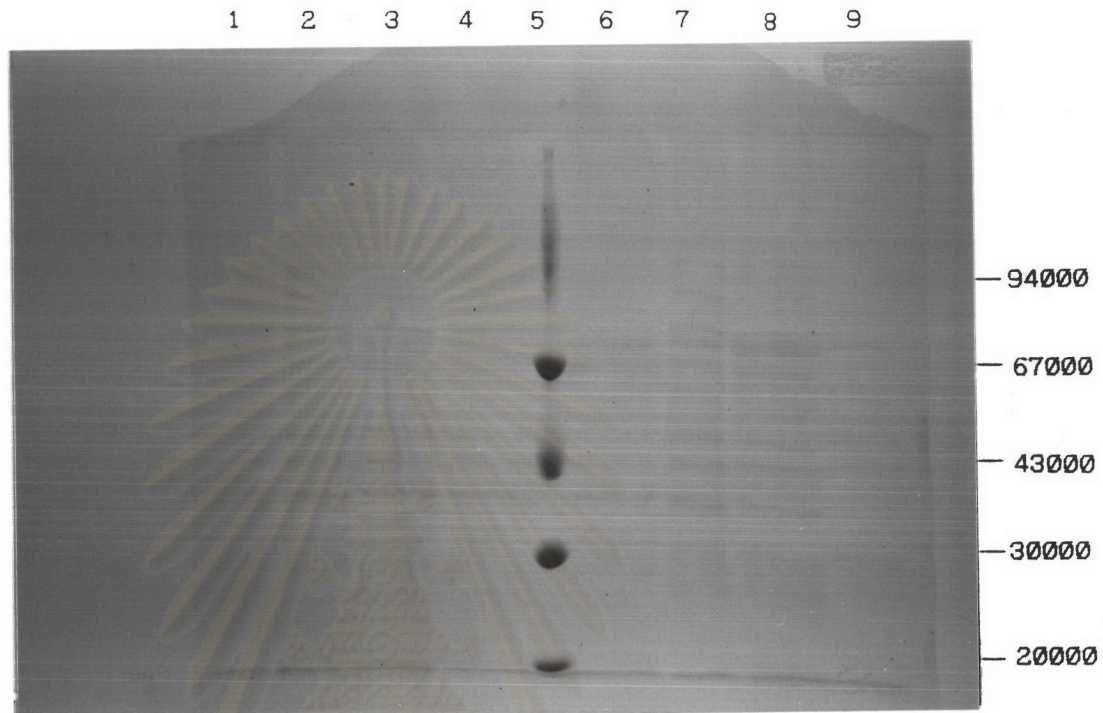
เมื่อนำสารละลายโปรตีนมาตรวจสอบรูปแบบของโปรตีนโดยการทำ SDS-PAGE พบว่าโปรตีนจากน้ำเลี้ยงเชื้อมีปริมาณน้อยมากเมื่อเปรียบเทียบกับสารสกัดจากภายในเซลล์ ดังรูปที่ 25 และ 26 ตามลำดับ

จากรูปที่ 26 ซึ่งเป็นผลแสดงรูปแบบของโปรตีนจากสารสกัดจากเซลล์ เมื่อ เลี้ยงเซลล์ในสภาวะปกติ ที่ 37 องศาเซลเซียส พบว่ารูปแบบของโปรตีนจาก E. coli ทั้งที่มีและไม่มีพลาสมิດมีรูปแบบไม่แตกต่างกัน และ เนื่องจากริคอมบินเนนท์พลาสมิດที่ได้จากการใช้พลาสมิດ pUC19 เป็นพาหะ ซึ่งได้แก่ p19C-1 p19C-2 และ p19C-3 นั้น ชั้นล่างเดิมเอ็นเอที่ໄล์เข้าไปอยู่ภายใต้การควบคุมของпромोเตอร์ของอินซีซัส lacZ ดังกล่าวในบทที่ 1 ซึ่งสามารถถูกเหนี่ยวแน่นได้ด้วย IPTG ดังนั้นจึงได้ทดลองเติม IPTG ลงในอาหาร เลี้ยงเชื้อที่จะนำมาตรวจสอบรูปแบบของโปรตีน จากนั้นนำน้ำเลี้ยงเชื้อและสารสกัดแยกจากเซลล์ของ E. coli DS941 และ E. coli DS941 ที่มีริคอมบินเนนท์พลาสมิດเหล่านี้ มาวิเคราะห์โปรตีนโดยวิธี SDS-PAGE ได้ผลดังแสดงในรูปที่ 27 ซึ่งไม่พบว่ามีแอบของ โปรตีนใดที่มีความเด่นชัดขึ้น

และเนื่องจากพลาสมิດ pGP1-2 ซึ่งใช้ในการทราบส่วนร่วม E. coli DS941 ร่วมกับริคอมบินเนนท์พลาสมิດที่มี pT7-7 เป็นพลาสมิດพาหะนั้น มีอินที่สร้างเอ็นไซม์ RNA polymerase (ซึ่งจะไปจับกับпромोเตอร์ σ₇₀ บน T7-7) ที่อยู่ภายใต้การควบคุมของอินซีซัส cI857 และสามารถกระตุ้นการผลิตเอ็นไซม์นี้ได้เมื่ออุณหภูมิสูงขึ้นเป็น 42 องศาเซลเซียส ดังนั้นจึงได้ทดลองเพิ่มอุณหภูมิเป็น 42 องศาเซลเซียส จากนั้นจึงนำสารละลายภายนอก และภายในเซลล์ของ E. coli DS941 และ E. coli DS941 ที่มีริคอมบินเนนท์พลาสมิດ p7C-1 และ p7C-3 มาทำ SDS-PAGE ได้ผลดังแสดงในรูปที่ 28

เมื่อเปรียบเทียบรูปแบบของโปรตีน ที่ได้จากเซลล์ซึ่งเลี้ยงในสภาวะต่างๆ กัน ในรูปที่ 26 27 และ 28 พบว่ามีรูปแบบของโปรตีนไม่แตกต่างกัน ซึ่งช่วยยืนยันได้ว่า ทราบส่วนร่วมที่เหล่านี้ไม่มีการแสดงออกของไซโนแลส

รูปที่ 25 รูปแบบโปรตีนโดยการทำ SDS-PAGE ของสารละลายน้ำเจี้ยงเชื้อของ *E. coli* DS941 และกรานสฟอร์แมนท์เปรียบเทียบกับโปรตีนมาตรฐาน



ช่องที่ 1 โปรตีนจาก *E. coli* DS941

2 โปรตีนจาก *E. coli* DS941 ที่มีพลาสมิค pUC19

3 โปรตีนจาก *E. coli* DS941 ที่มีรีคอมบินันท์พลาสมิค p19C-1

4 โปรตีนจาก *E. coli* DS941 ที่มีรีคอมบินันท์พลาสมิค p19C-2

5 โปรตีนมาตรฐาน (คลาตัน)

6 โปรตีนจาก *E. coli* DS941 ที่มีรีคอมบินันท์พลาสมิค p19C-3

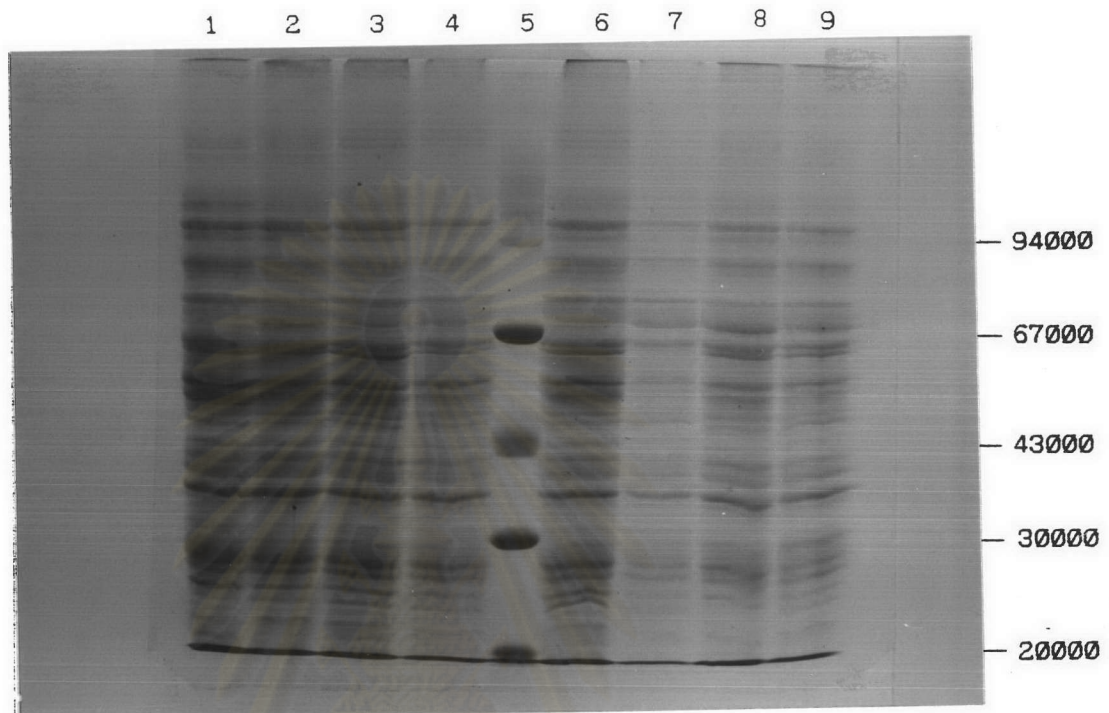
7 โปรตีนจาก *E. coli* DS941 ที่มีพลาสมิค pT7-7+pGP1-2

8 โปรตีนจาก *E. coli* DS941 ที่มีรีคอมบินันท์พลาสมิค p7C-3

9 โปรตีนจาก *E. coli* DS941 ที่มีรีคอมบินันท์พลาสมิค p7C-1

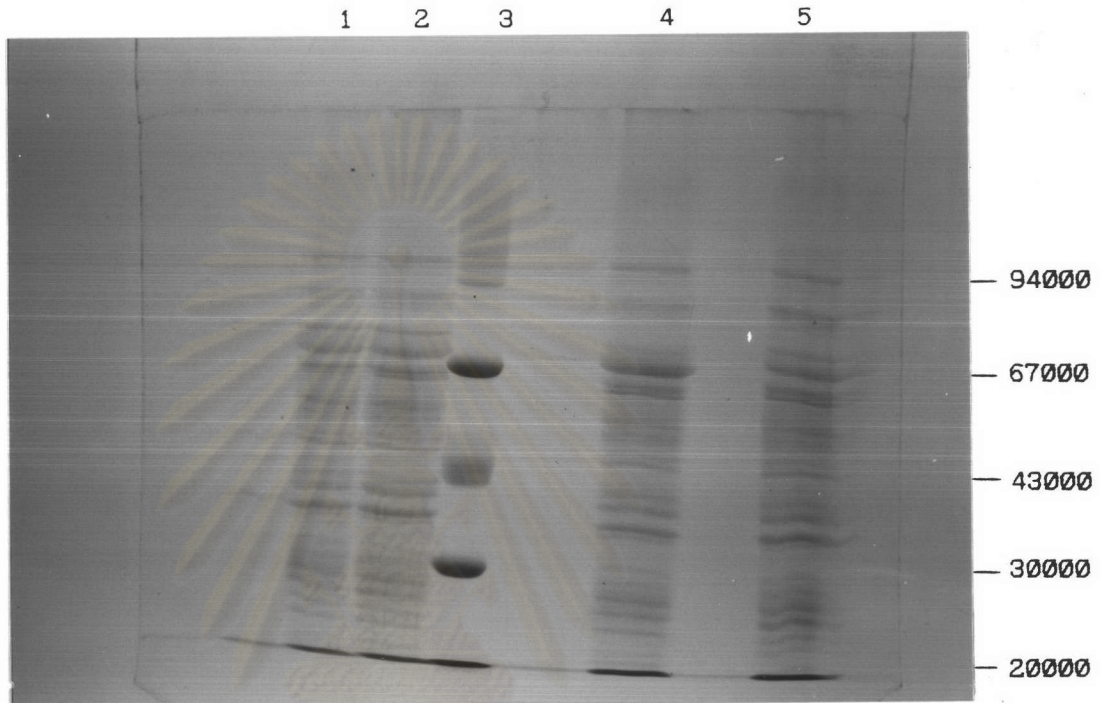


รูปที่ 26 รูปแบบโปรตีนโดยการทำ SDS-PAGE ของสารละลายน้ำ soluble protein จากเชลล์ของ *E. coli* DS941 และทรายสฟอร์เมเนท เปรียบเทียบกับโปรตีนมาตรฐาน



- ช่องที่ 1 โปรตีนจาก *E. coli* DS941
- 2 โปรตีนจาก *E. coli* DS941 ที่มีพลาสมิค pUC19
- 3 โปรตีนจาก *E. coli* DS941 ที่มีรีคอมบินันท์พลาสมิค p19C-1
- 4 โปรตีนจาก *E. coli* DS941 ที่มีรีคอมบินันท์พลาสมิค p19C-2
- 5 โปรตีนมาตรฐาน (คลาสตัน)
- 6 โปรตีนจาก *E. coli* DS941 ที่มีรีคอมบินันท์พลาสมิค p19C-3
- 7 โปรตีนจาก *E. coli* DS941 ที่มีพลาสมิค pT7-7+pGP1-2
- 8 โปรตีนจาก *E. coli* DS941 ที่มีรีคอมบินันท์พลาสมิค p7C-3
- 9 โปรตีนจาก *E. coli* DS941 ที่มีรีคอมบินันท์พลาสมิค p7C-1

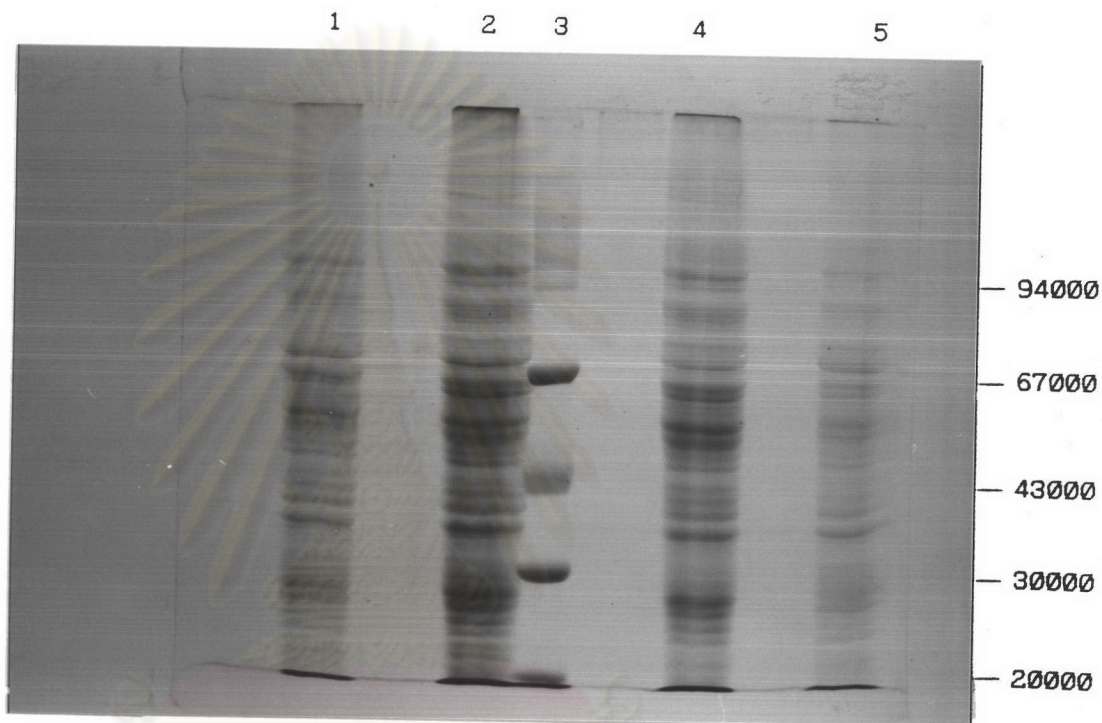
รูปที่ 27 รูปแบบโปรตีนโดยการทำ SDS-PAGE ของสารละลายน้ำที่ได้จากการสกัดจากเชลล์ของ *E. coli* DS941 ที่มีรีค็อกซ์บิแวนก์พลาสมิด p19C-1 p19C-2 หรือ p19C-3 เมื่อเติม IPTG ลงในอาหารเลี้ยงเชื้อ เปรียบเทียบกับโปรตีนมาตรฐาน



- ช่องที่ 1 โปรตีนจาก *E. coli* DS941 ที่มีพลาสมิด pUC19
 2 โปรตีนจาก *E. coli* DS941 ที่มีรีค็อกซ์บิแวนก์พลาสมิด p19C-1
 3 โปรตีนมาตรฐาน (ดาลตัน)
 4 โปรตีนจาก *E. coli* DS941 ที่มีรีค็อกซ์บิแวนก์พลาสมิด p19C-2
 5 โปรตีนจาก *E. coli* DS941 ที่มีรีค็อกซ์บิแวนก์พลาสมิด p19C-3

รูปที่ 28

รูปแบบโปรตีนโดยการทำ SDS-PAGE ของสารละลายน้ำตื้นจากสารสกัดจากเชลล์ของ *E. coli* DS941 ที่มีพลาสมิค pT7-7+pGP1-2 และ *E. coli* DS941 ที่มีรีคอมบินันท์พลาสมิค p7C-1 หรือ p7C-3 เมื่อเพิ่มอุณหภูมิในการเลี้ยงเชื้อเป็น 42 องศาเซลเซียล เพรียบเทียบกับโปรตีนมาตรฐาน



ช่องที่ 1 โปรตีนจาก *E. coli* DS941 ที่มีพลาสมิค pT7-7 + pGP1-2
(37 องศาเซลเซียล)

2 โปรตีนจาก *E. coli* DS941 ที่มีพลาสมิค pT7-7 + pGP1-2
(42 องศาเซลเซียล)

3 โปรตีนมาตรฐาน (ดาลตัน)

4 โปรตีนจาก *E. coli* DS941 ที่มีรีคอมบินันท์พลาสมิค p7C-3
(42 องศาเซลเซียล)

5 โปรตีนจาก *E. coli* DS941 ที่มีรีคอมบินันท์พลาสมิค p7C-1
(42 องศาเซลเซียล)